

山科川下流部における内水性状の変化

京大防災研究所 正員 豊國永次 正員 角屋 駿

近年、都市周辺における丘陵域、低地帯の開発、都市化が急速に進行しつつあるが、こうした流域の開発河川、水文条件を改変するため流出性状、内水特性に変化をもたらし内水対策の再検討を必要とする場合が多くなり。本報告ではこうした流域の一典型例とみなされる淀川水系山科川下流部の内水地帯を対象として、流域の開発、都市化の進行に起因する流出性状、内水特性の変動を解析し、これらの結果について考察したものである。

1. 堤内地における開発の進展状況 山科川下流部の堤内地は、昭和35年頃までは地沿周辺の低地帯には農地、その周囲より丘陵地にかけて村落が散在し、郊外農村的景観が強かったが、昭和36年山科川改修工事着工の前後より堤内地の開発、都市化が始まった。こうした開発の進展状況を、昭和38年6月、昭和42年4月撮影の航空写真の結果をもとに示すと、Fig. 1 のようだ、昭和38年6月までに堤内地の約16%が、昭和42年4月までには22%が宅地ほか工場用地化されたことによる。この他、昭和41年度山科川本川の築堤完成、堤内地を縦断する外環状線道路の開通からびにこれに接続する支線道路網の整備に伴い、開発が一層促進されてきている。

2. 流出特性の変化 われわれはこれまで、流域斜面における雨水流出特性を表現する主要要素として算術粗度と雨水損失を解析する方法として補給能の概念を用い、その有用性を明らかにしてきたが、本報告においてもこうした観点から流出特性の変化について考察を進める。ここではまず本流域のほかでも開発の進展が顕著で、とくにこの流域における開発の典型的なパターンとみなされる御藏山宅地造成地域 (Fig. 2) を選んで、これまでの観測調査資料をもとに検討する。

(1) **雨水損失特性** 一般に都市域は、家屋、建築物、舗装道路などの不透水面と緑地、裸地などの透水面とが混在した heterogeneous な雨水損失場で、微視的には透水面、不透水面を構成する着地目、地物さらに地被状態、土壤構造などによりそれぞれ損失特性に相異がみられるであろうが、ここではまず雨水損失を流域平均的に扱う巨視的立場から検討を進める。昭和38年、39年と昭和42年の降雨、流出資料とともに、前期無降雨日数Tをパラメーターとして、損失雨量Fと降雨・潜流時間tの関係を求めると、Fig. 3 においてそれ実線、一点鎖線で示す曲線群が得られる。これより明らかに開発の進展による降雨損失の減少が表わされている。本地域の昭和38年から42年にわたる流域条件の変化は家屋、道路舗装の増加等不透水面

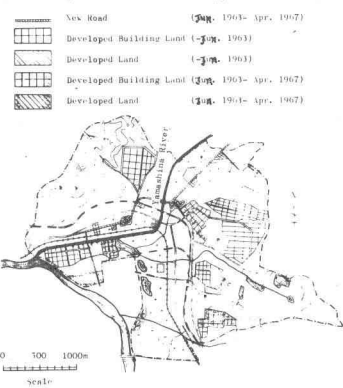
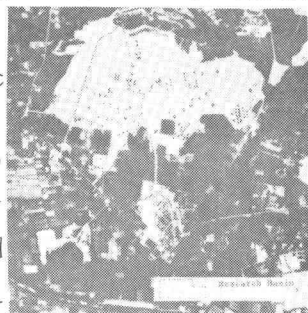
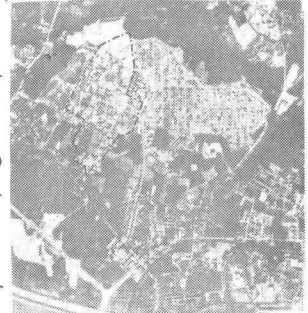


Fig. 1 堤内地における開発の進展状況



(a) 昭和38年6月



(b) 昭和42年4月

Fig. 2 調査地域

の新增が主要なものである。不透水面での雨水損失は一般にくぼ地貯留、不透水面工の付着水などがあげられるが、一般にさして大きいものではなく、Thalinらは舗装面にあたり3 mm程度までとしているが、むろんその値は不透水面の平均こう配によつて異なり、G. E. Willekeは実測資料を整理して、流域の平均損失雨量は、ほぼその流域の平均こう配に逆比例し、こう配1%で損失雨量3 mm、4%程度で0.1に近似する結果を得ている。こうした結果より推して、むろん恩こう配の不透水面をもつ本地域では、不透水面での損失は無視しても大きな誤差は現われないものと考えられる。そこでまずのFig. 3へとFig. 3の点線で示されるように、流域全体の浸透面の損失特性を平均的に表示する一群の曲線が得られる。このように浸透域の雨水損失特性を、流域における雨水補給能の概念にしだれ、次の関係式を用いて解析すると、

$$\begin{aligned} & i > f; \quad f = f_c + (f_u - f_c) e^{-bt} \\ & b = (f_u - f_c) / V_E \\ & V_E = \bar{W} (W_s - W_h) \end{aligned} \quad \left. \begin{array}{l} \\ \\ \end{array} \right\} \quad (1)$$

$$\begin{aligned} & i \leq f; \quad f > f_{*}; \quad \Delta f = b \Delta R \\ & f \leq f_{*}; \quad \Delta f = b [\Delta R - f_c (t_2 - t_1)] \end{aligned} \quad \left. \begin{array}{l} \\ \\ \end{array} \right\}$$

ここで、 i ；降雨強度、 f ；時刻 t における補給能、 f_u ；上限補給能、 f_c ；下限補給能、 f_{*} ；土壤含水比が圃場容水量の比の補給能、 \bar{W} 、 V_E ；それぞれ補給能に関与する土層の単位面積柱体重量、空隙量、 W_s ；飽和含水比、 W_h ；しきれ係数、 ΔR ； $i < f$ 、 f ；時間（左～右）の雨量、 Δf ； t_1 ～ t_2 ；時間 Δt の減少量。

補給能回復曲線

$$\begin{aligned} & w \geq w_c; \quad f_0 = \frac{f_u - f_c}{\bar{W}(w_s - w_h)} (E_p + f_c) t + f_c \\ & w < w_c; \quad f_0 = f_u - (f_u - f_{*}) e^{-ct} \end{aligned} \quad \left. \begin{array}{l} \\ \\ \end{array} \right\} \quad (2)$$

$$C = E_p / V_E$$

$$V_E = \bar{W} (w_c - w_h)$$

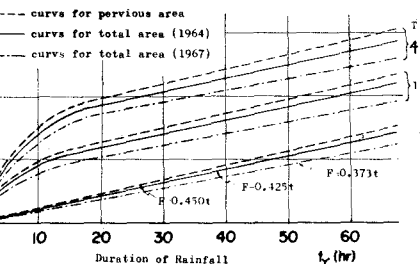
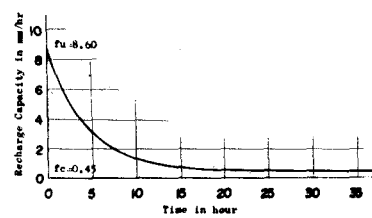
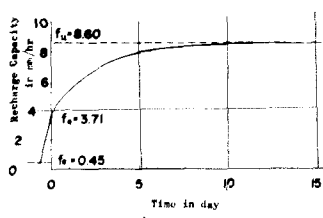


Fig. 3 $F-t$ curve



(a)



(b)

Fig. 4 (a) 標準補給能曲線
(b) 標準回復曲線

ここで、 w_c ；圃場容水量、 f_0 ；初期補給能、 E_p ；蒸発散能、 V_E ；蒸発補給能に関与する土層の w_c への孔隙の空隙量、 t ；降雨終了時刻よりの時間、 T ； $w = w_c$ 以後の時間

Fig. 4(a), (b)に示すように標準補給能曲線および補給能回復曲線が得られる。これより流域の開発、都市化の進展に伴い変化する損失雨量の評価は不透水面積の増加と関連あけて算定することができるよう。ただしこうした取扱いができるのは、流域の雨水損失特性の近似する後透的で構成され、かつ不透水面がむろんのこう配をもつ場合であるが、一般に丘陵地の都市化が進展する場合、流域

の地図を考慮に入れてその分割、モデル化を行はえば、上述の条件はほぼ満足されるものと考えられる。

(2) 雨水流特性 雨水流特性曲線法を用いて追跡したうえする立場からすれば、流域諸条件の変化による雨水流特性の変化は等価相度係数の変化として表示されるはずである。本調査地区では昭和38年4月にありすでに排水路網は設備され(Fig. 5), その後昭和42年までに家屋の増築、道路舗装などにより、地表面が12%程度変化し、家屋はむろ離散的な状態であり、雨水流特性の変動はさして大きなものとはならないことが予測される。

1) 流出特性の変化；昭和38、39年の観測資料とともににして本地區の等価相度を評価し、 $N=0.05$ を得たが、次に、昭和42年の観測資料とともに等価相度を検討し、その典型例として Fig. 6 に示す結果が得られ、およそ $0.04 \sim 0.05$ の範囲にあることがわかる。以上の結果より、この程度の本地區の変化では雨水流特性はあまり変化しない。ただし若干の変化を認めるとしても解析精度の範囲内に入るほど僅少なものとほる。また昭和40年の24号台風時の実験結果も $N=0.05$ であった。

2) 流域モデルと等価相度； 等価相度係数ある特定の流域モデルに対して定義されるものであるから、これを詳細に議論しようとする場合、流域モデルが変わればその値も変るはずで、このことはとくに流域条件の類似する他の流域への適用に際して問題となる。このような欠陥を改良するには、Fig. 7 によると等価流域モデルにおいて、 N と N_s との関係は、直ぐに明らかげうに、次式

$$N = \left[\left(\frac{\sin \theta}{\sin \phi} \right)^{1/p} \left(\frac{Ns}{2m} \right)^{1/p} + \frac{K_0 (5p-3)/5}{(2m)^{p-1}} \left(\frac{L/n}{B} \right)^{1-p} \left(\frac{\sin \theta}{\sin \phi} \right)^{1/p} \right]^{1/p} + \frac{K (Ye B)^{(5p-3)/5}}{(L/n)^{1-p}} \left(\frac{\sin \theta}{\sin \phi} \right)^{1/p} \quad (3)$$

ここに、 K_0 , P_0 および K , P ; それそれ側溝支線排水路の特性を表す定数、 Y_e ; 有効降水量。

で表示されるから、こうした関係を用いれば、

ある調査流域について求めた N からその流域の流出面に対する N_s 値が算定でき、また逆に N_s 値を他の流域に適用するとき、排水路網を考慮して N 値を算定することもできる。こうして取扱いをするために

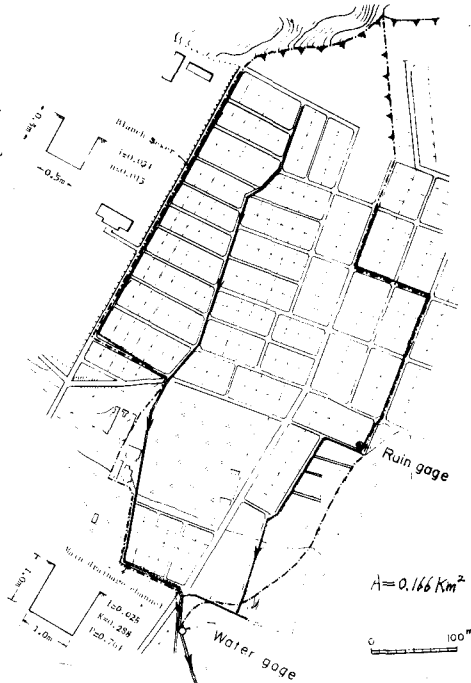


Fig. 5. 調査地域の排水路網

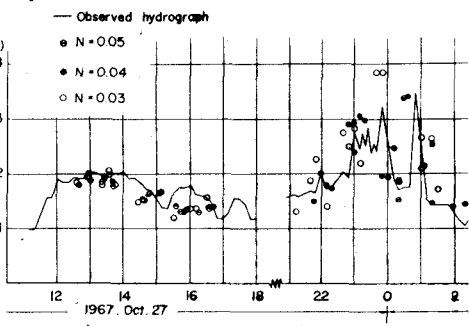


Fig. 6 実測ハイドログラフと計算値

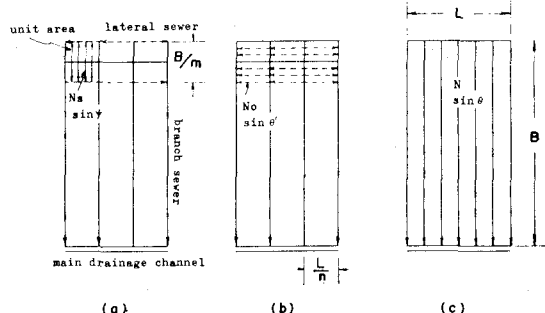


Fig. 7. 等価流域モデル

NS値を、流出面の種別あるいはそれらの構成要素別に求めておけば、ニラレド解析法の適用精度はさらに実用性と一層向上させることができよう。

3. 内水性状の変化 工述の結果とともにして昭和39年の雨量状況から昭和42年までの降雨の進展によって山科川下流部における内水の性状がどの程度変化したかといふ問題について若干検討を加えた。

(1) 検討 解析の条件 昭和28年13号台風時の水文条件、堤内地の地目と宅地造成地域、丘陵地域、水田地域に大別し、昭和39年、42年に對してそれぞれFig. 8(a), (b)に示すよう流域のモデル化を行なった。また地目別等価相度係数として、昭和39年に對してはそれぞれ0.5, 0.3, 1.0 ($m^{1/4} sec$) を与え、42年に對しては宅地造成地域のみで0.04を採用した。有効雨量の推定に際しては宅地造成地、丘陵地域に對しては、前述のようなく、とにかく不透過面積の増加を考慮して求めた。

(2) 内水性状の変化とその特性 工述の検討条件の下に内水解析を行なり、Fig. 9に示す結果を得た。以下その検討結果を要約して述べる。

1) 開港の進展により、堤内地自己流域からの出水性状がこれらに激変化し、ピーク流量は左岸堤内地で47.5 m^3/s と約40%の増加を示し、右岸堤内地では2倍に増加する。ニラレド結果はとくに丘陵地域にかけて排水路狭隘部にあつてればしばしば越水はんらんともたらす原因となる。

2) 堤内地にあつては流出流量は左岸側4万 m^3/s 、右岸側2万 m^3/s 程度増加し、湖沼、低窪地の埋立工による排水機能の削減がありまつて、最高たん水深を左右両岸とも約10cm程度増大させる。このように堤内地水位の増加はさして大きくなはないが、右岸に一層被害を集中させる点に注目を要する。

3) 浸水時間については、本地域は高水位経続時間が長期にわたり、外水位との間に支障されるので、両者の差は殆んどみられない。

4) 内水災害の防止と都市環境衛生の面より全くたん水を許さないと言えた場合、本地域は外水位条件がわざと機械排水に依存せざるを得ないが、工述のことく堤内地にあつては流出性状の変化は直接和二つの能力を増大する結果となる。

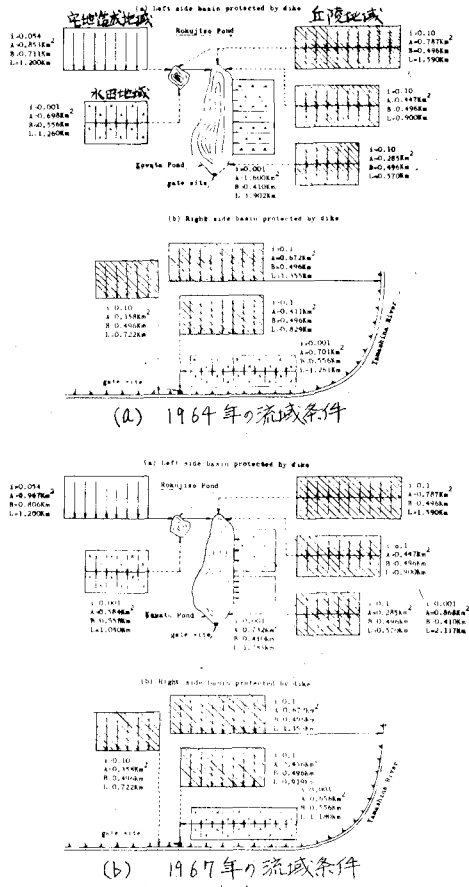


Fig. 8 堤内地の流域モデル

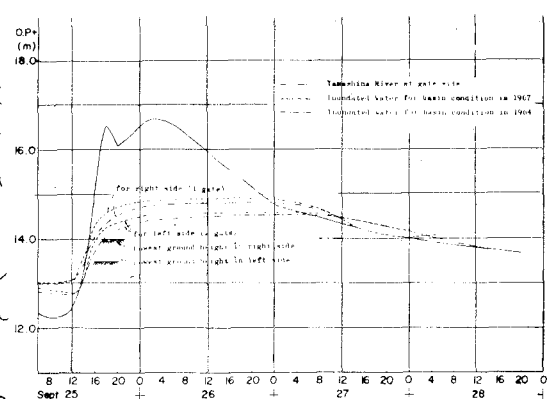


Fig. 9 内水ハイドログラフ (Typhoon No. 13, 1953)